

Г.М.卡茨涅尔松 等著
范宗荣 赵志业 譯

厚钢板
高精度轧制

冶金工业出版社



厚鋼板高精度度軋制

Г.М. 卡茨涅尔松 等 著

范宗荣 赵志业 譯

冶金工业出版社

本書述及在三輥勞特式軋机上高精确度热
軋厚鋼板的工艺过程。著者研究了得到不均匀
厚度鋼板的基本原因，以及影响最小公差軋制
鋼板的主要因素，并叙述了軋輥和工作机架零
件弹性变形的計算方法，以及軋輥輥型設計的
方法。

書中引出鋼板軋輥磨損的大小及其特点的
实验資料以及測量軋輥磨損和軋輥溫度的方法。

本書供軋板車間工程技术人员閱讀，也适
于科学工作者和高等学校学生参考。

Г.М.Капнерсон, М.М.Сафьян, А.П.Чекмарев, Г.И.Малый
ПРОКАТКА ТОЛСТЫХ ЛИСТОВ С ПОВЫШЕННОЙ ТОЧНОСТЬЮ
Металлургиздат (Мос ва 1957)

厚钢板高精度轧制

范宗荣 赵志业譯

编辑：叶建林 設計：魯芝芳、童廣春 校对：王坤一

1958年12月第一版 1959年6月北京第二次印刷2,000册
850×1168 • 1/32 • 98,000字 • 印张 3²⁸/₃₂ • 定价 0.50元

中央民族印刷厂印 新华书店发行 密号1152

冶金工业出版社出版 (地址：北京市灯市口甲45号)
北京市書刊出版业营业許可證出字第093号

目 录

序論.....	4
第一章 决定厚鋼板高精度度軋制的因素.....	6
1. 厚鋼板在三輥勞特式軋机上的生产过程.....	6
2. 軋輶的弹性变形(弯曲)	12
3. 工作机架的弹性变形.....	37
4. 軋輶工作的溫度条件.....	49
5. 軋輶磨損.....	56
6. 軋輶重車.....	67
7. 軋机調整.....	70
8. 軋制时軋件的形状和金屬的溫度.....	81
9. 在最后几道中鋼板的軋制.....	89
10. 測量鋼板厚度的工具.....	95
第二章 三輥勞特式軋机的軋輶輶型設計.....	105
1. 确定軋輶的总凸度.....	103
2. 輶型的合理形状.....	110
第三章 軋制厚鋼板工艺规程中的主要条例.....	120
参考文献	

序　　論

在国民经济各部門中，广泛地使用金属板材。它们用来制造汽车、车厢、各种机器、桥梁、容器和贮水槽、等等。

钢板常常用来制造建筑上使用的各种断面的弯曲产品。用焊接和铆接钢板的方法来制造钢梁和其他大型尺寸的产品，因为这种大型尺寸的产品是不能直接用轧制方法获得的。

使新的钢板轧机和新的钢板车间投入生产，以及提高现有轧机的生产率都可以增加钢板的生产。对提高钢板产品的质量须给以很大的注意。钢板不应该有麻点、裂纹等的缺陷；它的表面应该是光滑而平直的，没有坑穴和皱纹。

钢板的尺寸精确度有着特殊的意义。尺寸愈精确，也就說尺寸的波动范围愈窄，则以后钢板的加工就愈少，而在用钢板制作各种产品时的金属消耗也愈小。钢板的厚度有极大的作用；既然钢板可按长度和宽度用剪切的方法来修整，那么钢板的厚度只能用价值成本很高的刨削加工方法来改变。轧好的钢板一般都要去继续加工，但是不刨削表面。钢

板上有名义厚度的偏差，在计算钢板制品时必须考虑这些偏差。

此外，在按最大公差轧制时，钢板的重量就比按名义尺寸计算的重量大，结果造成金属的损耗；用这种钢板作出的结构，其重量就要增大，而在结构中发生的应力就被故意减小。

钢板轧制时厚度的波动决定于许多因素，其中最重要的有：轧制钢锭温度和化学成份的不固定，因此使金属对轧辊的压力改变；由于这个缘故，使轧机工作机架的牌坊和所有受载荷零件的弹性变形值不固定，因此使轧辊间的距离也变化；在载荷作用下，轧辊受到弯曲和压扁，它的弹性变形值是不固定的，因此沿辊身上轧辊间的缝隙是不相同的；轧辊的温度不固定，因而沿辊身长度上使辊身直径改变。这时，轧制的钢板愈宽，则其厚度差可能愈大，而钢板愈薄，则其厚度的相对波动就愈大。

此外，轧辊和轴承轴瓦的不均匀磨损、厚板轧机机架的不正

确調整及軋件不正确地送入軋机等等均影响鋼板的名义厚度偏差。

軋板生产的技术工作者的任务在于改进生产方法，为的是得到与名义（理論的）尺寸接近的鋼板。

本書中研究了引起鋼板厚度波动的各种原因，以及在三輥勞特式軋机上提高軋制鋼板的尺寸精确度的措施。目前在这些軋机上还生产着主要数量的厚板产品。

書中叙述这些三輥勞特式厚鋼板軋机中的一台軋机的工作經驗，在这台軋机上按高精确度軋制厚板已达到很好的結果。

第一章 决定厚钢板高精角度轧制的因素

1. 厚钢板在三辊劳特式轧机上的生产过程。

用扁钢锭和板坯来作为轧制厚钢板的原料。

轧制前，把钢锭和板坯加以仔细的表面检查和清理，直到完全消除整个表面上的缺陷时为止。特别要注意检查钢锭和板坯宽面上的表面质量。

目前已有各种火焰的和机械的清理金属表面的方法 [1]。

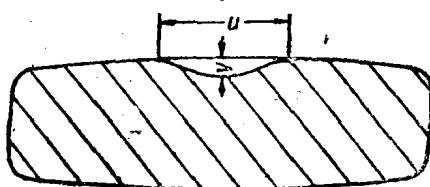


图 1 在钢锭清理的地方沟槽坡口简图

热轧厚钢板的钢锭上及板坯上的表面缺陷多半用风嘴和火焰烧嘴消除。

在清理钢锭和板坯时，应该把缺陷完全消除，并应在凿掉的地方留有足够的坡口，而且没有

能在钢板表面上引起疤皮 (Накат) 的尖锐边缘和局部凹陷。

大多数工厂中，坡口的大小采取 $u \geq 6V$ (图 1)。这样的坡口，轧制后在钢板上不会留下任何痕迹。

消除表面缺陷的深度，按先进工厂的经验取钢锭或板坯厚度的三分之一（指镇静钢来说），尽管以前限制此值为钢锭（板坯）厚度的百分之十。

在清理原料时，必须消除的缺陷计有：纵裂纹和横裂纹、结疤、夹渣、深轧入的铁鳞、耐火材料夹杂物、凸瘤、由于钢锭模烧裂而产生的网状 (Сетка) 及其他。沸腾钢锭在加热时为了避免露出蜂窝气泡和避免形成痘痕 (Оспина)，应有足够厚度的表面紧密外壳。气泡的埋藏深度用凿子凿切的方法检查。

预先自镇静钢锭上切去缩头部份对轧制钢板的精确度有重大的影响。这个作业是在钢锭准备工段用特殊烧嘴进行的(图 2)。

必須注意到，在軋机上軋制切过縮头的鋼錠时，沿着切割的地方由于金屬上下层的疤皮而形成皺文，因此，为避免金屬良好部份的多余损失，應該在縮头部份上距縮头与鋼錠本体交界 Δ 距离处进行切割，值 $\Delta \approx 0.05 H_{cut}$ (图 3 和图 4)。

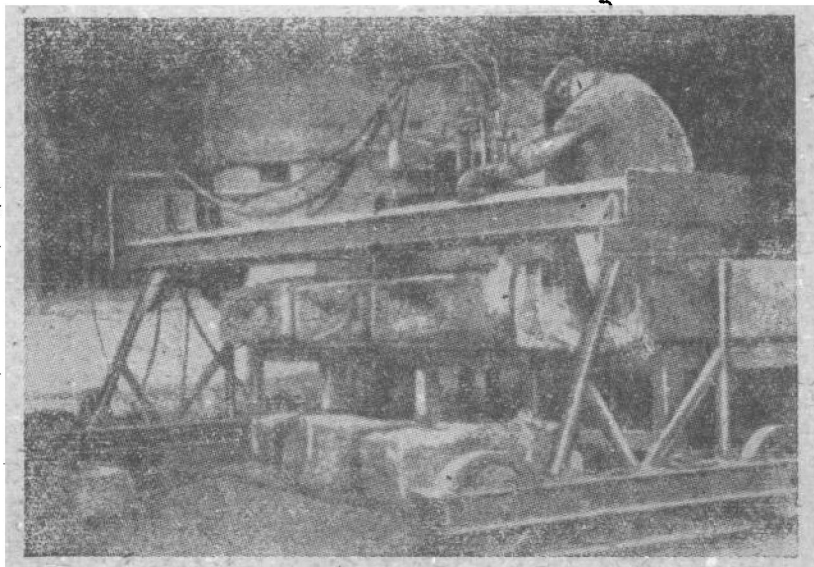


图 2 切割鋼錠縮头部份的装置

每一鋼錠或板坯在检查和清理以后加以标号（爐号、重量、钢号、尺寸等等）。此后就送往轧板車間的連續式加热爐。

装爐以前，用压缩空气吹掉或用扫帚扫除鋼錠或板坯表面上的尘土和污垢，特别是在清理后留下的凹坑里。在鋼錠或板坯装爐时，应把鏟削或火焰清理的表面朝下，以免在加热金屬时爐渣积集在这些地方。

加热的质量既影响軋机的生产率又影响钢板尺寸的精确度。

所选择的加热制度應該保証：金屬必須的开軋溫度、沿鋼錠或板坯断面上最小的溫度差、最少的表面脱炭和鋼的烧损、以及連續式加热爐的高生产率。

金属加热的均匀性对高精度軋制钢板來說具有特別重大的

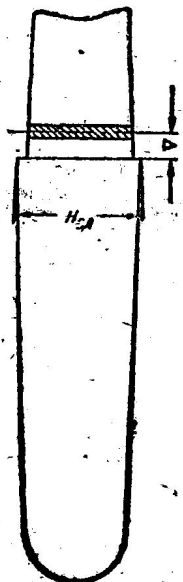


图 3 切割钢锭缩头部份的
简图

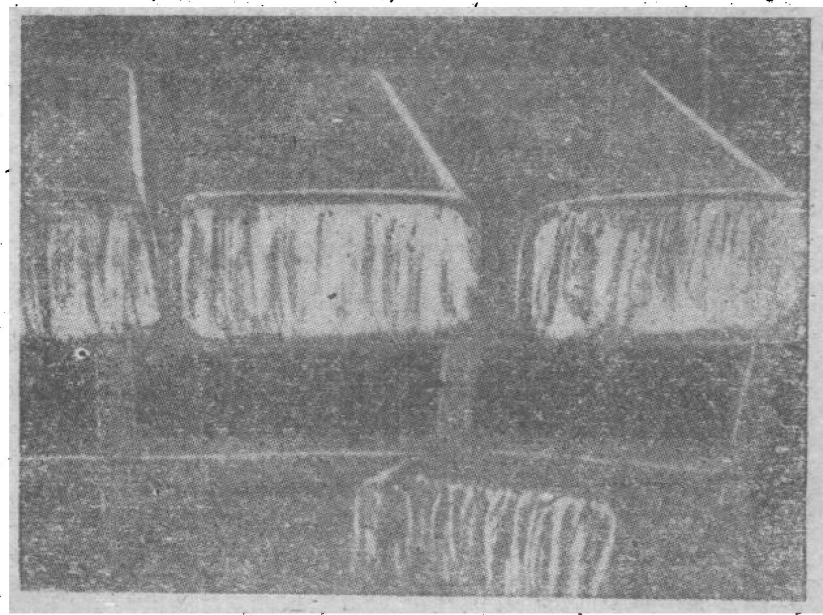


图 4 切割缩头部份后的钢锭

意义。为此，规定把燃烧燃料的热量 50~60% 供给金属下加热，规定均热钢锭和板坯，并且在出炉以前为了在它们之间得到间隙，规定要掀动钢锭或板坯。

为了得到优质的钢板表面，必须消除加热时在钢锭上和板坯上形成的铁鳞。残留的铁鳞深深地压进钢板的表面，就得用砂轮清理表面。钢板的表面只许在钢板厚度的负公差范围以内清理。按缩减公差轧制钢板时，应该特别仔细地清除炉内生成的铁鳞，因为清理的允许深度不大。

轧制前和轧制过程中可以用各种方法清除铁鳞。轧制前借机械的方法用特殊刮刀、金属刷子、铣刀等等来去除铁鳞。在轧制过程的头几道中，由于铁鳞的塑性不大，大部份铁鳞在轧制变形时破碎。虽然如此，但在头几道中施以大的压下量时，铁鳞仍会被压入金属的表面，因此，为了消除这种现象，在工作机架中或专为此目的而设立的除鳞机中，在开始有时采用小的压下量(5~10%)。此外，在轧制时零件表面上的铁鳞借助于水力冲除器以及潮湿的树枝清除，而在某些情形下(在轧制形成“粘性”铁鳞的钢时)借助于抛到零件表面上的食盐和用盐溶液浸透的毛布或麻袋布清除。用水力冲除器来清除铁鳞是靠一股水流的冲击力，这股水流是通过特殊的喷嘴在高压下(到 120 大气压)喷在零件上下表面上的。

轧辊压住潮湿的树枝、盐、毛布等等到热零件上的瞬间，由于形成气体，它们就急剧地增加体积，而在金属表面上把铁鳞崩碎。

为了预防折迭，用扫帚扫除或用水冲除脱下的铁鳞和金属小块。

在某些情况下为了防止铁鳞，利用特殊的涂料涂在炉中加热前的钢锭或板坯的表面上。此种涂料或是在加热时防止形成铁鳞，或是促使形成在轧制时易碎的和容易除掉的铁鳞。

可以把钢板在轧机上的整个轧制过程分为三个有代表性的时期：去掉钢锭的锥度①，展轧钢板的宽度和零件向长度方向轧到

① 在由板坯轧制钢板时，没有去掉锥度的时期。

所要求的钢板厚度。为了获得钢板厚度的准确尺寸，在轧制过程的第三个时期的后几道中的零件温度具有特殊的意义。在其他条件相同的情况下，轧制金属的温度下降值决定于金属在轧机上轧制的时间。因此，强化轧制过程和均匀的轧制节奏就改善了提高钢板轧制精确度的条件，即高的轧机生产率也引起高的轧制精确度。

一张钢板的轧制时间，由道次的延续时间和花费在辅助作业上的时间来确定。辅助作业占轧制时间的大部分（70~80%），它基本上包括了零件在展轧钢板的宽度时的转向动作以及把零件对准轧制中心线的动作。

钢板轧制时的道次数目决定于钢锭或板坯的原始厚度、钢板的最终厚度、零件温度和压下量；而压下量又决定于轧制速度、驱动电机的功率、轧辊直径和其他说明轧机特征的参数。合理的压下规程应该规定充分地利用可能的咬入角，也应在极合理的零件转向方式同轧钢工的先进操作方法相配合下来考虑轧机的驱动功率和轧机零件的强度。

除了上述主要因素之外，测量零件宽度（在轧制的第二个时期中）和测量最终钢板厚度的时间对一张钢板的轧制周期时间也有影响。

钢板轧制后在钢板矫直机上热矫，此后就在输出辊道上冷却或是成堆冷却。以后钢板按规定尺寸画线。画线过程中，用擦有白粉的细绳画出钢板的轮廓和机械试验的试样的轮廓，并进行表面的外观检查和钢板打印。

在画线以前，为了能够检查下表面而把钢板翻转。

在画线时，要遵守由技术规程所规定的头部、尾部和侧边的剪切量，此剪切量依钢号以及钢锭或板坯开始的形状而定。一些钢板画线的示例示于图5中，这些钢板是由镇静钢a、沸腾钢b和板坯b轧成的。

钢板在钢刀式剪切机（剪切前端部）和圆盘式剪切机（剪切侧边）上剪切。

有时仅在钢刀式剪切机上剪切钢板。在这种情况下剪切时，

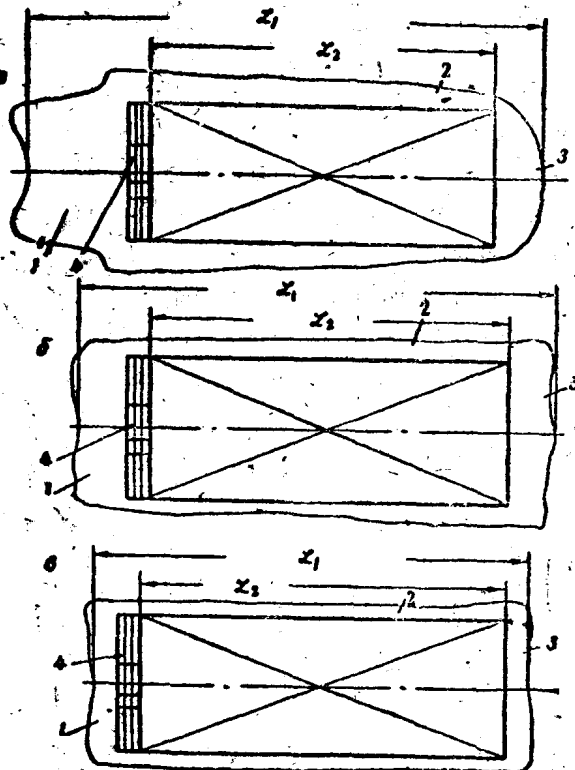


图 5 剪切钢板和試样时零件画綫简图

1—头部的切边；2—侧面的切边；3—底部的切边；4—試样； L_1 —未剪切的钢板长度； L_2 —剪切过的钢板长度

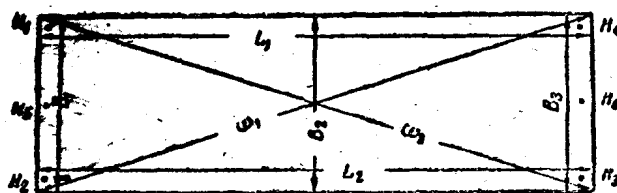


图 6 检查钢板尺寸的簡图

用桥式起重机、磁力推床或其他方法在「鵝頸」床上轉动鋼板。

每一张鋼板剪切后，由技术监督处的工作人员检查和驗收。这时检查鋼板的宽度 (B_1 、 B_2 和 B_3 ——图 6)、鋼板的长度 (L_1 和 L_2) 和对角線 (ω_1 和 ω_2) 的尺寸是否在公差范围以内。然后沿鋼板周边在任意一些点上用千分尺測量鋼板的厚度。一般在鋼板的四个角上（可能的最小厚度区域 H_1 、 H_2 、 H_3 和 H_4 ）以及在鋼板前端和后端的中間（可能的最大厚度区域 H_5 和 H_6 ）測量鋼板的厚度。此后沿剪切面检验鋼板的端部。

检查鋼板时假若发现有缺陷（結疤、裂紋、压入金屬或爐渣、鐵鱗堆积、夹层、側邊髮裂等等），則凿到缺陷最深的地方检查缺陷存在的深度，并用深度計确定清理的深度。若缺陷深度超出鋼板厚度的負公差，鋼板就得报废，或用于其他用途。当缺陷深度小于鋼板的負公差时，把鋼板送去清理。当側邊上有夹层和髮裂时，就用凿把它們鏟除。金屬分叉就說明夹层还未消除。

假若对鋼板的机械性质提出特別要求，則把鋼板热处理。必須注意到，由于热处理时形成表面鐵鱗鋼板的厚度会稍許減少。因此，軋制这种鋼板时，應該留出 0.2~0.3 公厘 左右的厚度余量。

假若需要的話，鋼板要进行冷矫。

厚鋼板在检查过它們的实际重量和得到有关机械性质及其他性质的結論以后，才进行最終驗收。技术监督处在接收的鋼板上打印，并把鋼板送到成品仓库去以便发送給用户。

2. 軋輶的彈性变形（弯曲）

在三輶勞特式軋机上，每道中軋件是在中輶与上輶間或在中輶与下輶間进行压缩的。这时，上下輶被传动，而中輶空轉。因此，压缩金屬的上（下）輶可以看作是二輶式軋机的传动軋輶。至于中輶和起支撑作用的下（上）輶，根据軋輶間产生压力的特点，可以把它們看作是四輶式軋机的軋輶，虽然两者传动軋輶的

方式不相同。

现在来研究一下二輥式軋机軋制时軋輥的弹性变形(图7)。設軋件对輥身中点对称放置，并設金屬传給軋輥的压力为均布載荷 $q = \frac{P}{b}$ ，式中 P ——金屬对軋輥的总压力； b ——軋件宽度。

那么，作用在左右两輥頸上的支撑反作用力将是相等的，并且軋輥的弹性綫将与軋輥的中点对称。

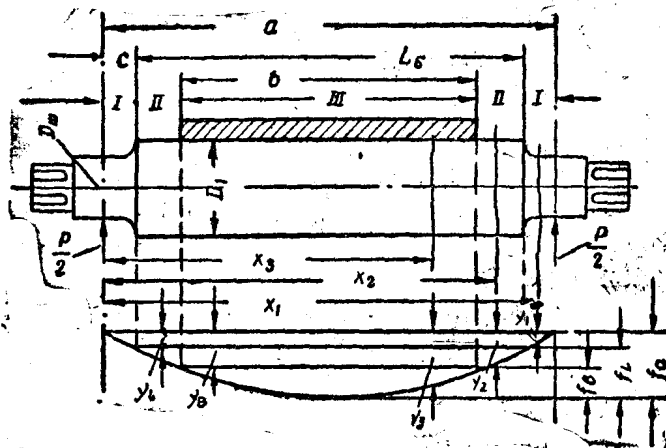
在图7上沿軋輥长度把它分成三个有代表性的区段。

我們先要求出軋輥受弯曲力矩作用的弹性綫公式：

$$(Y_M) = \varphi (M_x)$$

支于两支点上的梁的弹性綫微分方程式为下面的形式：

$$\frac{d^2 (Y_M)}{dx^2} = -\frac{M}{EI} \quad (1)$$



$$M_1 = \frac{qb}{2} (a - x_1) .$$

因此，弹性线的方程式将为

$$EI_m \frac{d^2y_1}{dx_1^2} = -\frac{qb}{2} (a - x_1) ;$$

带括号积分，

$$EI_m \frac{dy_1}{dx_1} = \frac{qb}{2} \times \frac{(a - x_1)^2}{2} + c_1; \quad (2)$$

再积分一次得

$$EI_m Y_1 = -\frac{qb}{2} \times \frac{(a - x_1)^3}{6} + c_1 x_1 + c_2. \quad (2')$$

I 区段：

$$\frac{a+b}{2} \leq x_2 \leq \frac{a+L_6}{2} .$$

轧辊在这个区段上的弯曲力矩等于：

$$M_2 = \frac{qb}{2} (a - x_2) .$$

因此，弹性线的方程式将为

$$EI_1 \frac{d^2Y_2}{dx_2^2} = -\frac{qb}{2} (a - x_2) ;$$

带括号积分这个公式，

$$EI_1 \frac{dY_2}{dx_2} = \frac{qb}{2} \times \frac{(a - x_2)^2}{2} + c_3; \quad (3)$$

再积分一次得

$$EI_1 Y_2 = -\frac{qb}{2} \times \frac{(a - x_2)^3}{6} + c_3 x_2 + c_4. \quad (3')$$

II 区段：

$$\frac{a}{2} \leq x_3 \leq \frac{a+b}{2} .$$

轧辊在这个区段上的弯曲力矩等于；

$$M_s = -\frac{qb}{2}(a-x_3) + \frac{q}{2}\left(a-\frac{a+b}{2}-x_3\right)^2.$$

因而，弹性线的方程式将为

$$EI \cdot \frac{d^3 Y_3}{dx_3^3} = -\frac{qb}{2}(a-x_3) + \frac{q}{2}\left(\frac{a+b}{2}-x_3\right)^2;$$

积分得：

$$EI_1 \frac{dY_3}{dx_3} = \frac{q}{2} \left[b \frac{(a-x_3)^2}{2} - \frac{1}{3} \left(\frac{a+b}{2} - x_3 \right)^3 \right] + C_3; \quad (4)$$

再积分一次得

$$EI_1 Y_3 = -\frac{q}{2} \left[\frac{b}{6}(a-x_3)^3 - \frac{1}{12} \left(\frac{a+b}{2} - x_3 \right)^4 \right] + C_3 x_3 + C_4. \quad (4')$$

我们由下面四个边界条件来确定积分常数 C_1, C_2, C_3 及 C_4 。

第一条件：当 $x_1 = x_2 = (a-c)$ 时， $Y_1 = Y_2$ ，即在辊身与辊颈的联接处，辊身的挠度 (Y_2) 与辊颈的挠度 (Y_1) 相等。

由图 7 可以看出 $(a-c) = \frac{a+L_6}{2}$ 。

第二条件：当 $x_1 = x_2 = (a-c)$ 时， $\frac{dY_1}{dx_1} = \frac{dY_2}{dx_2}$ ，即在辊身与辊颈的联接处，第一区段弹性线的倾斜角等于第二区段弹性线的倾斜角。

第三条件：当 $x_3 = a$ 时， $Y_1 = 0$ ，即辊在支点的挠度等于零。

第四条件：当 $x_3 = \frac{a}{2}$ 时， $\frac{dY_3}{dx_3} = 0$ ，即在辊最大挠度处（辊中点）弹性线倾斜角的正切等于零。

把 $x_1 = x_2 = (a-c)$ 值代入公式 2' 和公式 3' 中，即根据第一条件，并使两挠度相等，则最终得到

$$\begin{aligned} Y_1 = Y_2 &= \frac{1}{EI_1} \left[-\frac{qbc^3}{12} + c_1 a - c_1 c + c_2 \right] \\ &= \frac{1}{EI_1} \left[-\frac{qbc^3}{12} + c_3 a - c_3 c + c_4 \right]. \end{aligned} \quad (5)$$

把 $x_1 = x_2 = (a - c)$ 值代入公式 2 和公式 3 中，即根据第二条件，并使輥身与輥頸联接处的两倾斜角的正切相等，则最终得到

$$\frac{dY_1}{dx_1} = \frac{dY_2}{dx_2} = \frac{1}{EI_{\text{m}}}\left[\frac{qb^2}{4} + c_1\right] = \frac{1}{EI_1}\left[\frac{qb^2}{4} + c_2\right]。 \quad (6)$$

把 $x_1 = a$ 值代入公式 2' 中，即根据第三条件，并使輥輶在支点的挠度为零，则最终得到

$$EI_{\text{m}}Y_1 = 0 = c_1a + c_2 = 0。 \quad (7)$$

把 $x_3 = \frac{a}{2}$ 值代入公式 4 中，即根据第四条件，并使輥輶最大挠度处的弹性线倾斜角的正切为零，则最终得到

$$\begin{aligned} \frac{dY_3}{dx_3} = 0 &= \frac{1}{EI_1}\left[\frac{q}{2}\left(\frac{a^2b}{8} - \frac{b^3}{24}\right) + c_3\right] \\ &= \frac{1}{EI_1}\left[\frac{qb}{48}(3a^2 - b^2)\right] + c_3 \frac{1}{EI_1} = 0。 \end{aligned} \quad (8)$$

由公式 8 求出常数值：

$$c_3 = -\frac{qb}{48}(3a^2 - b^2)。 \quad (9a)$$

把常数值 c_3 代入公式 6 中，则可求出常数值 c_1 ：

$$c_1 = \frac{qI_{\text{m}}}{48}\left[\frac{b^3}{I_1} - \frac{3a^2b}{I_1} + 12bc^2\left(\frac{1}{I_1} - \frac{1}{I_{\text{m}}}\right)\right]。 \quad (9b)$$

把常数值 c_1 代入公式 7 中，则可求出常数值 c_2 ：

$$c_2 = \frac{abqI_{\text{m}}}{48}\left[\frac{1}{I_1}(3a^2 - b^2) + 12c^2\left(\frac{1}{I_{\text{m}}} - \frac{1}{I_1}\right)\right]。 \quad (9c)$$

把求出的这些常数值 c_1 、 c_2 和 c_3 代入公式 5 中，则可求出常数值 c_4 ：

$$c_4 = \frac{qb}{48}\left[a(3a^2 - b^2) + 8c^2\left(\frac{I_1}{I_{\text{m}}} - 1\right)\right]。 \quad (9d)$$

算出輥輶 I、II 和 III 区段的弹性线的公式 2'、公式 3' 和公式 4'，以及算出这些积分常数，我们即可最终写出所有区段上受弯曲力矩作用的弹性线公式。